

# Starkniederschlagshöhen und -spenden gemäß KOSTRA-DWD-2020

## Rasterfeld 130212

(Zeile 130, Spalte 212)

### Regenspende und Bemessungsniederschlagswerte in Abhängigkeit von Wiederkehrzeit T und Dauerstufe D

| Dauerstufe D |     | Wiederkehrzeit T |            |      |            |      |            |      |            |       |            |       |            |       |            |       |            |       |            |
|--------------|-----|------------------|------------|------|------------|------|------------|------|------------|-------|------------|-------|------------|-------|------------|-------|------------|-------|------------|
|              |     | 1 a              |            | 2 a  |            | 3 a  |            | 5 a  |            | 10 a  |            | 20 a  |            | 30 a  |            | 50 a  |            | 100 a |            |
| min          | Std | mm               | l / (s ha) | mm   | l / (s ha) | mm   | l / (s ha) | mm   | l / (s ha) | mm    | l / (s ha) | mm    | l / (s ha) | mm    | l / (s ha) | mm    | l / (s ha) | mm    | l / (s ha) |
| 5            |     | 6,1              | 203,3      | 7,7  | 256,7      | 8,7  | 290,0      | 10,1 | 336,7      | 12,0  | 400,0      | 13,9  | 463,3      | 15,2  | 506,7      | 16,9  | 563,3      | 19,3  | 643,3      |
| 10           |     | 8,4              | 140,0      | 10,6 | 176,7      | 12,0 | 200,0      | 13,8 | 230,0      | 16,4  | 273,3      | 19,1  | 318,3      | 20,9  | 348,3      | 23,2  | 386,7      | 26,5  | 441,7      |
| 15           |     | 9,8              | 108,9      | 12,4 | 137,8      | 14,0 | 155,6      | 16,1 | 178,9      | 19,2  | 213,3      | 22,3  | 247,8      | 24,4  | 271,1      | 27,1  | 301,1      | 31,0  | 344,4      |
| 20           |     | 10,8             | 90,0       | 13,7 | 114,2      | 15,5 | 129,2      | 17,8 | 148,3      | 21,2  | 176,7      | 24,7  | 205,8      | 27,0  | 225,0      | 30,0  | 250,0      | 34,3  | 285,8      |
| 30           |     | 12,4             | 68,9       | 15,7 | 87,2       | 17,7 | 98,3       | 20,4 | 113,3      | 24,2  | 134,4      | 28,2  | 156,7      | 30,8  | 171,1      | 34,3  | 190,6      | 39,1  | 217,2      |
| 45           |     | 14,0             | 51,9       | 17,7 | 65,6       | 20,0 | 74,1       | 23,1 | 85,6       | 27,4  | 101,5      | 32,0  | 118,5      | 34,9  | 129,3      | 38,8  | 143,7      | 44,3  | 164,1      |
| 60           | 1   | 15,2             | 42,2       | 19,3 | 53,6       | 21,8 | 60,6       | 25,1 | 69,7       | 29,9  | 83,1       | 34,8  | 96,7       | 38,0  | 105,6      | 42,2  | 117,2      | 48,2  | 133,9      |
| 90           | 1,5 | 17,1             | 31,7       | 21,6 | 40,0       | 24,4 | 45,2       | 28,1 | 52,0       | 33,5  | 62,0       | 39,0  | 72,2       | 42,6  | 78,9       | 47,3  | 87,6       | 54,0  | 100,0      |
| 120          | 2   | 18,5             | 25,7       | 23,4 | 32,5       | 26,5 | 36,8       | 30,5 | 42,4       | 36,2  | 50,3       | 42,2  | 58,6       | 46,1  | 64,0       | 51,2  | 71,1       | 58,5  | 81,3       |
| 180          | 3   | 20,6             | 19,1       | 26,1 | 24,2       | 29,5 | 27,3       | 34,0 | 31,5       | 40,4  | 37,4       | 47,1  | 43,6       | 51,4  | 47,6       | 57,1  | 52,9       | 65,3  | 60,5       |
| 240          | 4   | 22,3             | 15,5       | 28,2 | 19,6       | 31,9 | 22,2       | 36,7 | 25,5       | 43,7  | 30,3       | 50,8  | 35,3       | 55,5  | 38,5       | 61,7  | 42,8       | 70,5  | 49,0       |
| 360          | 6   | 24,8             | 11,5       | 31,4 | 14,5       | 35,5 | 16,4       | 40,9 | 18,9       | 48,6  | 22,5       | 56,6  | 26,2       | 61,8  | 28,6       | 68,6  | 31,8       | 78,5  | 36,3       |
| 540          | 9   | 27,6             | 8,5        | 34,9 | 10,8       | 39,5 | 12,2       | 45,4 | 14,0       | 54,0  | 16,7       | 62,9  | 19,4       | 68,7  | 21,2       | 76,3  | 23,5       | 87,3  | 26,9       |
| 720          | 12  | 29,7             | 6,9        | 37,6 | 8,7        | 42,5 | 9,8        | 49,0 | 11,3       | 58,3  | 13,5       | 67,8  | 15,7       | 74,1  | 17,2       | 82,3  | 19,1       | 94,1  | 21,8       |
| 1080         | 18  | 33,0             | 5,1        | 41,8 | 6,5        | 47,3 | 7,3        | 54,4 | 8,4        | 64,7  | 10,0       | 75,4  | 11,6       | 82,3  | 12,7       | 91,4  | 14,1       | 104,5 | 16,1       |
| 1440         | 24  | 35,6             | 4,1        | 45,1 | 5,2        | 50,9 | 5,9        | 58,6 | 6,8        | 69,7  | 8,1        | 81,2  | 9,4        | 88,7  | 10,3       | 98,5  | 11,4       | 112,6 | 13,0       |
| 2880         | 48  | 42,6             | 2,5        | 53,9 | 3,1        | 60,9 | 3,5        | 70,2 | 4,1        | 83,4  | 4,8        | 97,1  | 5,6        | 106,1 | 6,1        | 117,9 | 6,8        | 134,7 | 7,8        |
| 4320         | 72  | 47,3             | 1,8        | 59,9 | 2,3        | 67,7 | 2,6        | 77,9 | 3,0        | 92,7  | 3,6        | 107,9 | 4,2        | 117,8 | 4,5        | 130,9 | 5,1        | 149,6 | 5,8        |
| 5760         | 96  | 50,9             | 1,5        | 64,5 | 1,9        | 72,9 | 2,1        | 83,9 | 2,4        | 99,8  | 2,9        | 116,2 | 3,4        | 126,9 | 3,7        | 141,0 | 4,1        | 161,1 | 4,7        |
| 7200         | 120 | 53,9             | 1,2        | 68,3 | 1,6        | 77,2 | 1,8        | 88,9 | 2,1        | 105,7 | 2,4        | 123,1 | 2,8        | 134,5 | 3,1        | 149,4 | 3,5        | 170,7 | 4,0        |
| 8640         | 144 | 56,5             | 1,1        | 71,6 | 1,4        | 80,9 | 1,6        | 93,2 | 1,8        | 110,8 | 2,1        | 129,0 | 2,5        | 140,9 | 2,7        | 156,5 | 3,0        | 178,9 | 3,5        |
| 10080        | 168 | 58,8             | 1,0        | 74,5 | 1,2        | 84,2 | 1,4        | 96,9 | 1,6        | 115,3 | 1,9        | 134,3 | 2,2        | 146,7 | 2,4        | 162,9 | 2,7        | 186,2 | 3,1        |

# Starkniederschlagshöhen und -spenden gemäß KOSTRA-DWD-2020

## Rasterfeld 130212

(Zeile 130, Spalte 212)

### Örtliche Unsicherheiten in Abhängigkeit von Wiederkehrzeit T und Dauerstufe D

| Dauerstufe D |     | Wiederkehrzeit T |     |     |     |      |      |      |      |       |
|--------------|-----|------------------|-----|-----|-----|------|------|------|------|-------|
|              |     | 1 a              | 2 a | 3 a | 5 a | 10 a | 20 a | 30 a | 50 a | 100 a |
| min          | Std | ± %              | ± % | ± % | ± % | ± %  | ± %  | ± %  | ± %  | ± %   |
| 5            |     | 13               | 13  | 13  | 14  | 14   | 15   | 15   | 16   | 16    |
| 10           |     | 14               | 15  | 16  | 17  | 18   | 19   | 20   | 20   | 21    |
| 15           |     | 15               | 17  | 18  | 19  | 21   | 21   | 22   | 22   | 23    |
| 20           |     | 16               | 18  | 20  | 21  | 22   | 23   | 23   | 24   | 24    |
| 30           |     | 17               | 20  | 21  | 22  | 23   | 24   | 25   | 25   | 26    |
| 45           |     | 18               | 20  | 21  | 22  | 24   | 25   | 25   | 26   | 26    |
| 60           | 1   | 18               | 20  | 21  | 22  | 24   | 25   | 25   | 26   | 26    |
| 90           | 1,5 | 17               | 20  | 21  | 22  | 23   | 24   | 25   | 25   | 26    |
| 120          | 2   | 17               | 19  | 20  | 21  | 23   | 24   | 24   | 25   | 25    |
| 180          | 3   | 16               | 18  | 19  | 20  | 22   | 23   | 23   | 24   | 24    |
| 240          | 4   | 15               | 17  | 18  | 20  | 21   | 22   | 22   | 23   | 23    |
| 360          | 6   | 14               | 16  | 17  | 19  | 20   | 21   | 21   | 22   | 22    |
| 540          | 9   | 14               | 16  | 17  | 18  | 19   | 20   | 20   | 21   | 21    |
| 720          | 12  | 14               | 15  | 16  | 17  | 18   | 19   | 19   | 20   | 21    |
| 1080         | 18  | 14               | 15  | 16  | 17  | 18   | 18   | 19   | 19   | 20    |
| 1440         | 24  | 14               | 15  | 16  | 16  | 17   | 18   | 18   | 19   | 19    |
| 2880         | 48  | 15               | 16  | 16  | 16  | 17   | 18   | 18   | 18   | 19    |
| 4320         | 72  | 17               | 17  | 17  | 17  | 18   | 18   | 18   | 19   | 19    |
| 5760         | 96  | 18               | 17  | 18  | 18  | 18   | 18   | 19   | 19   | 19    |
| 7200         | 120 | 19               | 18  | 18  | 18  | 19   | 19   | 19   | 19   | 20    |
| 8640         | 144 | 20               | 19  | 19  | 19  | 19   | 19   | 20   | 20   | 20    |
| 10080        | 168 | 20               | 20  | 19  | 19  | 20   | 20   | 20   | 20   | 20    |

### Parameter für abweichende T und D

#### Lokationsparameter $\xi$ (Xi)

15,71132835

#### Skalenparameter $\alpha$ (Alpha)

5,81771756

#### Formparameter $\kappa$ (Kappa)

-0,1

#### 1. Koutsoyiannis-Parameter $\theta$ (Theta)

0,04197187

#### 2. Koutsoyiannis-Parameter $\eta$ (Eta)

0,74217902

Parameter für dauerstufenübergreifende Extremwertschätzung nach KOUTSOYIANNIS et al. 1998.

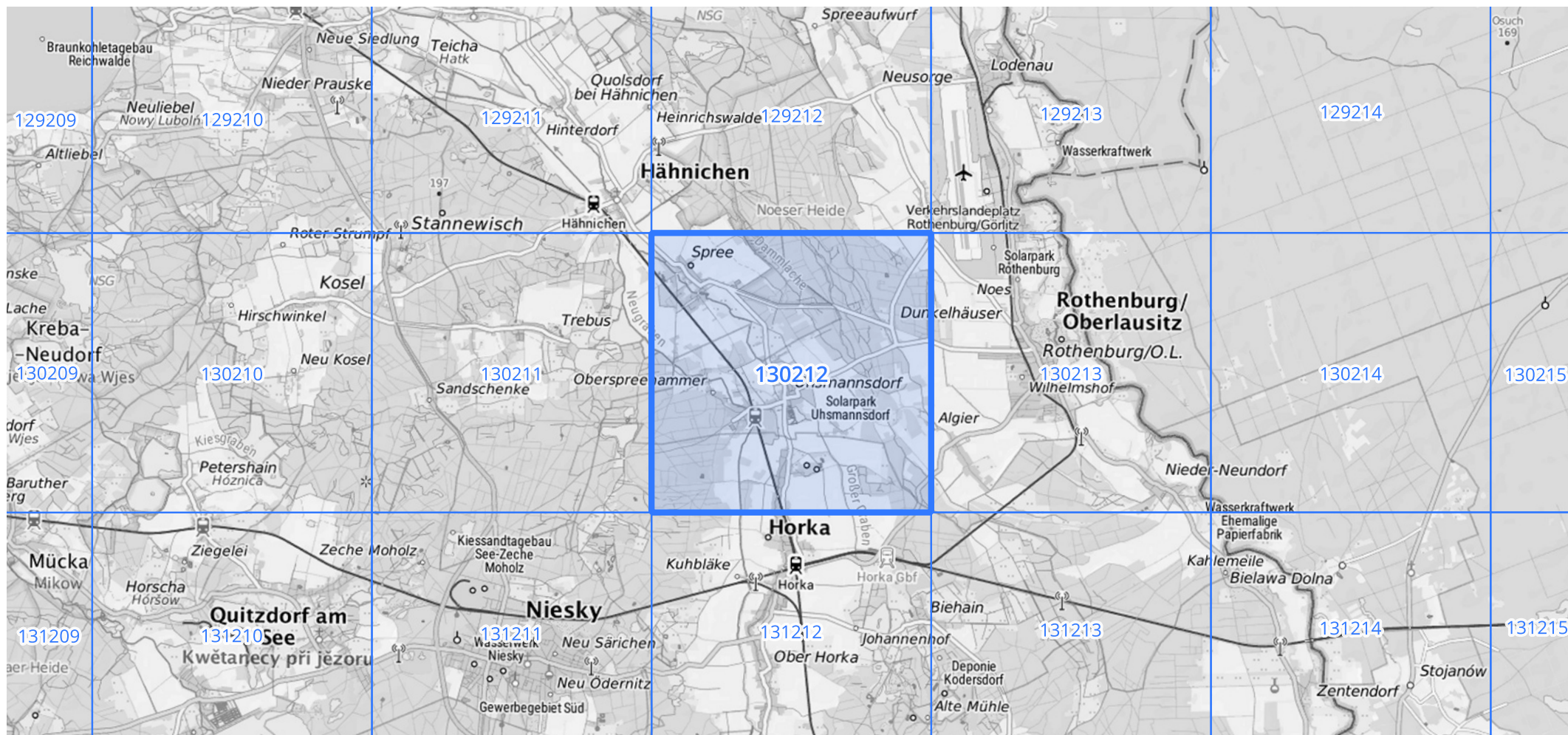
Siehe auch Anwendungshilfe zu KOSTRA-DWD-2020 des Deutschen Wetterdienstes.

# Starkniederschlagshöhen und -spenden gemäß KOSTRA-DWD-2020

## Rasterfeld 130212

(Zeile 130, Spalte 212)

Übersichtskarte des Rasterfeldes 130212, M 1 : 100 000



Quelle Rasterdaten: KOSTRA-DWD-2020 des Deutschen Wetterdienstes, Stand 12/2022.

Seite 3 von 3

Kartendarstellung: © Bundesamt für Kartographie und Geodäsie (2023), Datenquellen: [https://sgx.geodatenzentrum.de/web\\_public/gdz/datenquellen/Datenquellen\\_TopPlusOpen.html](https://sgx.geodatenzentrum.de/web_public/gdz/datenquellen/Datenquellen_TopPlusOpen.html)

Für die Richtigkeit und Aktualität der Angaben wird keine Gewähr übernommen. Erstellt 01/2023.